

تحلیل عددی ایمنی قاب خمی فولادی تحت بارهای دینامیکی لرزه‌یی

مهمنگی عمده، شرف، تأسیسات (۱۴۰۵)، دوری ۲ - ۳، شماره ۱ / ۱۰۳-۱۱۱ (پژوهشی)

احسان دهقانی* (استاد) ^{*}

زینب آریانی (دانشجوی کارشناسی ارشد)
دانشکده‌ی فنی مهندسی، دانشگاه قم

بر اساس قضایای بنیادین تحلیل خمیری سازه‌ها، افزایش مقاومت یا سختی بخشی از سازه موجب تضعیف آن تحت یک بار است. مشخص نمی‌شود. از این نتیجه برای ساده‌سازی مدل سازی و طراحی سازه‌ها استفاده‌های فراوانی می‌شود؛ در عین حال این قضایا تحت بارگذاری دینامیکی و متغیر اثبات نشده‌اند. این پژوهش نتایج قضیه‌ی این را به صورت عددی در یک قاب خمی دو بعدی پنج طبقه‌ی فولادی طی تحلیل پویا غیرخطی با ۲۹ شتاب نگاشت مختلف بررسی می‌کند. به دلیل این که تحت این شرایط مکانیزم یا فروریختگی در سازه رخ نمی‌دهد، برای اطمینان از ایمنی سازه با تعییر مشخصات اعم از سختی و مقاومت موضعی اعضا در محدوده‌ی مشخص، بیشترین تقاضای شکل‌پذیری چرخشی اعضا استخراج شده است. در پایان پس از بررسی نتایج، ایمنی سازه مورد نظر پس از افزایش موضعی سختی و مقاومت اعضا، تحت بارهای دینامیکی حفظ شده است.

dehgani@qom.ac.ir
z.aryani@qom.ac.ir

واژگان کلیدی: قضیه‌ی این، تحلیل دینامیکی غیرخطی، مقاومت، سختی، تقاضای شکل‌پذیری.

۱. مقدمه و تاریخچه تحقیقات

ضریب λ در تعادل باشند و از مقادیر لنگر تسليم اعضا فراتر نزول، در این صورت این ضریب همواره از ضریب بار فروریختگی حقیقی $\lambda_{\text{کوچک}} < \lambda_{\text{کوچک}} < \lambda$ ترخواهد بود.^[۲] از آنجایی که در کاربرد این قضیه لزومی به برقراری شرط مکانیزم نیست؛ بنابراین کافی است یک مجموعه متعادل از نیرو و بارهای خارجی یافت شود که شرط تسليم را رعایت می‌کند، در این صورت می‌توان نتیجه گرفت طرح حاصل شده این خواهد بود. منظور از برقراری شرط تسليم این است که هیچ لنگری در این مجموعه متعادل دلخواه، از لنگر حد تسليم اعضا فراتر نزول. این قضیه مجوزی برای استفاده از تحلیل کشسانی با وجود خطاهای ذکر شده است. یعنی در صورتی که طرح یک سازه برای ضریب بار λ انجام شود، قطعاً این خواهد بود؛ زیرا مقادیر لنگرهای داخلی منتج شده از لنگرهای خارجی، از لنگر خمیری اعضا کوچک‌تر خواهد بود و در نتیجه ضریب بار موجود از ضریب بار حقیقی فروریختگی کم‌تر است.

به تعییر دیگر چنانچه در یک سازه مسیر انتقال نیرو به صورت دلخواه در نظر گرفته شود و پیکربندی سازه بر اساس آن طوری انجام شود که شرط تسليم ارضاء شود، طرح سازه حتماً این خواهد بود. از این موضوع می‌توان نتیجه گرفت که اگر مصالحه با قیودی به سازه اضافه شود، سازه تضعیف نمی‌شود. به همین دلیل خطاهای ناشی از رفتار متفاوت مصالح با فرضیات طراحی، ایده‌آل در نظر گرفتن اتصالات، اضافه مقاومت می‌گردد، وجود ترک یا تش پسماند و ... قابل چشم‌پوشی است. اما این قضیه محدودیت‌هایی نیز دارد. یکی از این محدودیت‌ها وجود شکل‌پذیری کافی در تمام نقاط سازه بعد یا قبل از هر تغییری است که این

امروزه در طراحی سازه‌ها وجود ساده‌سازی‌هایی مانند ثابت در نظر گرفتن مقاومت مصالح، در نظر گرفتن ضرایب مشخص برای کاهش سختی، ایده‌آل فرض کردن اتصالات، مدل سازی دقیق اعضا، صرف‌نظر از خطاهای جبن ساخت و ... برای انجام فرایند تحلیل و طراحی اجتناب ناپذیر است. وجود این اختلاف‌ها باعث ایجاد تفاوت در مشخصات سازه از جمله مقاومت و سختی اعضا به صورت کلی یا جزئی می‌شود. این مسئله تفاوت‌هایی در رفتار لرزه‌یی سازه‌ی واقعی با سازه‌ی طراحی ایجاد می‌کند. این تفاوت‌ها ممکن است منجر به ناپایداری کلی، تعییر در نحوه تشكیل مکانیزم سازه و در نتیجه تعییر تقاضای شکل‌پذیری اعضا با تجاوز از حدود آین نامه مانند محدودیت‌های تعییرمکان، جایه‌جایی نسیی و ... شود.

تعییرات مشخصات اعضا در سازه یا اضافه کردن قید به آن باعث ایجاد تعییراتی در نیروهای داخلی می‌شود. این موضوع برای بارهای ثابت و مشخص با استناد بر قضایای این و غیرایم از مجموعه قضایای بنیادین تحلیل خمیری بررسی می‌شود. اولین بار در سال ۱۹۱۴ کازینسزی^[۱] به صورت آزمایشگاهی با بررسی رفتار خمیری تیر دوسرگیردار، شکل‌پذیری در سازه‌های فولادی را مطرح کرد. پس از آن با انجام تحقیقات زیادی در این زمینه، این قضایا مطرح و اثبات شد. طبق قضیه‌ی این، اگر مجموعه‌یی از لنگرهای داخلی را بتوان پیدا کرد که با بارهای خارجی با

* نویسنده مسئول

تاریخ: دریافت ۳۰/۱/۱۳۹۹، اصلاحیه ۷/۵، پذیرش ۷/۲۰/۱۳۹۹.

DOI:10.24200/J30.2020.55472.2738

وصله و کاهش مقاومت بتن را در نظر گرفته و منحنی شکنندگی را به دست آوردند.
نتایج این پژوهش نشان داد که در زلزله‌ی ضعیف با بیشینه‌ی شتاب زمین ۰/۲۸
احتمال رسیدن یا عبور از سطح عملکرد خدمت‌رسانی می‌وقله (OP) برای ساختمان
پنج، هشت و ۱۲ طبقه طبق طراحی ایده‌آل به ترتیب برابر با ۸۹٪، ۶۶٪ و ۵۵٪ و
طبق طراحی اصلاح شده برابر با ۹۲٪، ۶۴٪ و ۵۰٪ است. در سال ۲۰۱۹ طی
پژوهش سیوندی پور و همکاران^[۱] تأثیر سختی دورانی و مقاومت اتصال پای ستون
در رفتار لرزه‌ی هفت قاب ۱۰ طبقه با دهانه‌های مختلف طی تحلیل‌های ایستا
غیرخطی مدول و تاریخچه‌ی زمانی بررسی شده است. نتایج این پژوهش نشان داد
که تغییرات سختی دورانی اتصال پای ستون در ویژگی‌های پویا سازه، منحنی ظرفیت
سازه، جابه‌جایی نسبی طبقات و شکل‌پذیری تأثیر می‌گذارد. در همان سال خزانی و
همکاران^[۲] یک قاب خمشی ۱۴ طبقه بر روی شالوده‌ی سطوحی با ابعاد متفاوت
بر روی محیط خاک را با نرم افزار آباکوس مدل‌سازی کردند و پاسخ‌های لرزه‌ی آن
را طی تحلیل پویا غیرخطی بررسی کردند. در نتیجه‌ی این پژوهش، مشاهده شد
که اندازه‌ی شالوده به دلیل اندرکش میان خاک - پی - سازه، بر پاسخ‌های لرزه‌ی
انگذار است. همچنین مدلی جدید برای تحلیل این اثر و ارزیابی سختی پویا خاک
ارائه شد.

پس از وقوع زلزله در شهر نورتریج^۴ پژوهش‌های بسیاری برای بررسی و ارزیابی
رفتار اتصالات و تأثیر ترک‌ها و خرابی‌های آنها بر رفتار کلی سازه انجام شد. در سال
۲۰۱۶ استیلیمیکر^۵ و همکاران^[۳] با رویکرد بررسی خرابی‌های زلزله‌ی نورتریج، ابتدا
مکانیزم خرابی جوش و صله‌ی ستون را به دست آوردند. سپس در سال ۲۰۱۷^[۶]
خرابی جوش و صله‌ی ستون طبقه‌ی سوم دو سازه‌ی چهار و ۲۰ طبقه‌ی قاب
خمشی فولادی، تحت ۱۰۰ شتاب نگاشت زلزله را بررسی کردند. تمرکز پژوهش آنها
بر خرابی‌های جوش ناشی از زلزله‌ی نورتریج اعم از عدم نفوذ جوش کامل، وجود
ترک در جوش و ... است. آنها نتیجه گرفتند که اثرات شکست جوش در سازه‌ی
چهار طبقه بیشتر از سازه‌ی ۲۰ طبقه است و خرابی جزئی لزوماً باعث فرو ریختگی
کلی سازه نمی‌شود. همچنین در سال ۲۰۱۸^[۷] نتایج به دست آمده را با نتایج
آزمایشگاهی به کمک میز لرزه مقایسه کردند. پس از آن در سال ۲۰۱۹ م. سونگ^۸
و همکاران^[۸] تأثیرات لرزه‌ی و ظرفیت شکست و صله‌ی ستون در همان قاب‌های
چهار و ۲۰ طبقه را به صورت احتمالاتی به روش مونت‌کارلو بررسی کردند. در
این پژوهش از جابه‌جایی نسبی طبقه به عنوان شاخص خرابی کلی و از بیشترین
تشکشی و صله به عنوان شاخص خرابی جزئی استفاده شده است. نتایج این
تحقیق میزان عدم اطمینان از ظرفیت اتصالات در ارزیابی شکست لرزه‌ی را نشان
می‌دهد.

همچنین تحقیقات بسیار دیگری نیز در زمینه‌های به دست آوردن پاسخ‌های
لرزه‌ی مؤثر به صورت محلی و کلی در سازه، در شرایط مختلف از جمله عدم جوش
کامل در اتصالات، عدم صلیبیت اتصال پای ستون، اثرات اندرکش خاک و سازه
و ... انجام شده است. اما رویکرد این مطالعات نیز به منظور بررسی قضیه‌ی ایمن
نیست.

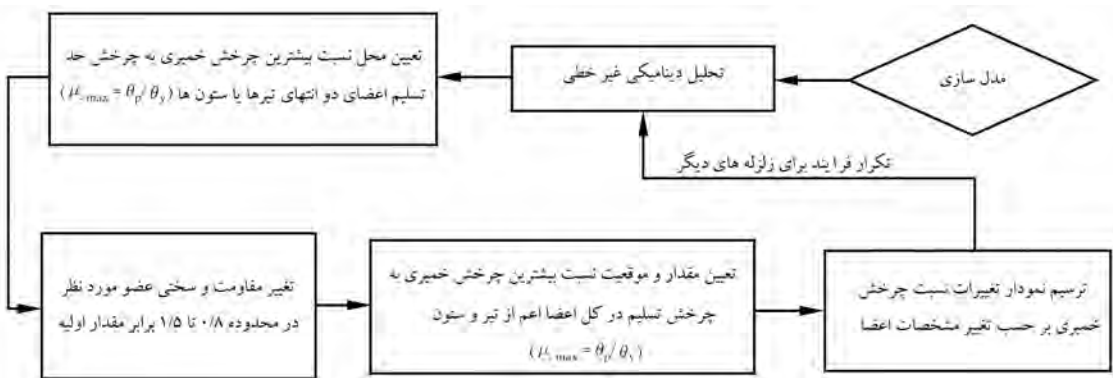
همان طور که پیش‌تر نیز اشاره شد، به دلیل این‌که مطالعات گذشته تحقیقات
خود را به منظور بررسی قضایای خیریه انجام نداده‌اند و همچنین این قضایا فقط
طی باگذاری ایستا دارای اثبات ریاضی‌اند، در نتیجه نیاز به انجام مطالعه و تحقیق
در این زمینه طی بارهای غیراستا، لازم و ضروری به نظر می‌رسد. به همین منظور
این پژوهش در یک قاب خمشی دو بعدی فولادی احتمال اثرات قابل توجه تغییرات
مقاومت و سختی موضعی اعضاء بر شکل‌پذیری آنها را طی تحلیل‌های پویا و ایستا
غیرخطی بررسی می‌کند.

موضوع در عمل به دلیل محدودیت‌های موجود در اجرا اتفاق نخواهد افتاد. یکی
دیگر از محدودیت‌ها، ثابت و مشخص بودن بار است. به عبارت دیگر فقط در
صورتی این قضایا با اثبات ریاضی قابل استفاده و استفاده هستند که بار اعمال
شده مشخص و ثابت باشد. این موضوع نیز به دلیل ماهیت نامشخص، رفت
و برگشتی و ... زلزله امکان‌پذیر نیست. اما روش‌های طراحی و آینه‌های
معمول و مرسم کماکان با استفاده این قضایا از این محدودیت‌ها صرف نظر
می‌کنند. به همین دلیل آینه‌های با حاشیه‌ی اطمینان مناسبی طراح را ملزم به
استفاده از شکل‌پذیری مشخصی در سازه می‌کنند. به همین منظور این پژوهش
سعی بر بررسی عددی این قضایا تحت بارهای پویا ایجاد شده‌ی ناشی از زلزله
دارد.

پس از بررسی و اثبات قضایای این تحت بارهای ایستا مشخص، ملان^[۹] در
سال ۱۹۳۶ قضایای بنیادی خمیری را برای بارهای متنابع تحت عنوان قضایای
Shakedown بررسی کرد.

هر چند اثبات قضایای بنیادین خمیری، در حالت دینامیکی تا به حال انجام
نشده است، ولی پژوهش‌های بسیاری در مورد بررسی پاسخ غیرخطی سازه‌ها تحت
اثر بارهای دینامیکی و با تغییرات جزئی و کلی در مقاومت و سختی اعضا انجام
شده است. پس از مطالعات نظری برای کشف و اثبات این قضایا، محققان بسیاری
از جمله نیومارک^{۱۰} و هال^[۱۱] در سال ۱۹۵۹ طی پژوهش گسترشده‌ی، رفتار لرزه‌ی
سازه‌های تک درجه آزادی تحت تحلیل دینامیکی غیرخطی را بررسی کردند. این
تحقیقات به ارائه روابطی بین مقاومت و تغییر مکان خمیری اعضا منجر شد که به
روابط نیومارک - هال شهرت دارد.

در زمینه‌ی بررسی پاسخ‌های لرزه‌ی سازه‌های چند درجه آزادی، پژوهش‌های
بسیاری با تغییرات کلی اعم از تعداد و طول دهانه‌ها، سیستم‌های بار بر جانی، تعداد
طبقات و ... انجام شده است. به طور مثال، در سال ۲۰۱۵ مصیمه‌ی فرو همکاران^[۱۲] به
منظور بررسی خرابی قاب‌های دو، سه و چهار طبقه‌ی بتن آرمه طی انجام هفت تحلیل
تاریخچه‌ی زمانی غیرخطی رابطه‌ی برای ضربه بزرگ‌نمایی تغییر مکان ارائه کردند.
مقدار بیشینه جابه‌جایی نسبی محاسبه شده با تحلیل تاریخچه‌ی زمانی غیرخطی در
همه قاب‌ها به طور میانگین ۱/۲، برابر بیشتر از حد شده از پژوهش تحلیل
تاریخچه‌ی زمانی خطی به دست آمد. در سال ۲۰۱۶ مصلح^{۱۳} و همکاران^[۱۴] به منظور
بررسی رفتار کلی سازه، بیشینه تغییر شکل و جابه‌جایی نسبی سازه و به منظور بررسی
محلي، تقاضای نیروی محوري و خمسی چهار ستون در موقعیت‌های مختلف از
سازه‌های یک، سه و شش طبقه با مقاطع مختلف را تحلیل‌های پوش آور و تاریخچه‌ی
زمانی بررسی کردند. به دلیل منظمی سازه در ارتفاع و پاسخ بین‌تر طبقه‌ی اول از
بقیه‌ی طبقات، نتایج طبقه‌ی اول بررسی شده است. آنها نتیجه گرفتند که نیروی محوري
به ترتیب در ستون‌های کناری، گوشه‌ی نما در راستای افقی، گوشه‌ی نما در راستای
قائم و ستون مرکزی بیشترین تغییرات را داشته است. ازدی فر و مشکوه‌الدینی^[۱۵]
عملکرد سیستم‌های مقاوم جانبی با ساختار قاب صلب لوله‌ی بر ارائه ارزیابی
پاسخ پویا غیرخطی سازه‌های فولادی میان مرتبه را تحت رکوردهای حوزه‌ی نزدیک
و دور مورد مطالعه قرار دادند. بدین منظور آنها تغییر مکان جانبی، جابه‌جایی نسبی
طبقات و دوران چشمیه‌ی اتصال سه مدل سازه‌ی فولادی میان مرتبه ۱۰ طبقه را بررسی
کردند. در نتیجه‌ی این تحقیق بیشینه جابه‌جایی نسبی سازه ۳/۵ درصد و بیشینه
دوران چشمیه‌ی اتصال در ترازهای فوقانی بیشتر از پنج درصد را دادند. به دست آمد.
پژوهش‌های دیگری نیز با انجام تغییرات جزئی در سازه، پاسخ‌های لرزه‌ی را
مورد مطالعه قرار دادند. عشقی و مکی‌آبادی^[۱۶] در سازه‌های ۵، ۸ و ۱۲ طبقه‌ی
بتنی، خطاهای اجرایی شامل طول مهاری ناکافی، افزایش تعداد میلگرد در محل



شکل ۱. نمودار گردشی روند انجام پژوهش.

است. برای تغییر مقاومت مفاصل از تنش حد تسلیم (F_y) و برای تغییر سختی مفاصل از مدل کشسانی (E) آنها استفاده شده است. به ازای انجام هر تغییر دوباره یک تحلیل پویا غیرخطی انجام شده و نتایج چرخش خمیری استخراج و به چرخش حد تسلیم اعضا تقسیم شده است. سپس بیشترین مقدار این نسبت در مفاصل کل سازه اعم از تیرها یا ستونها برداشت شده و نمودارهای تغییرات این نسبت با تغییر مقاومت یا سختی رسم شده است.

۲. روش انجام پژوهش

به منظور بررسی قضیه این یک قاب دو بعدی فولادی پنج طبقه تحت بارگذاری دینامیکی غیرخطی با ۲۹ شتاب نگاشت مختلف قرار گرفته است. از آنجایی که در تحلیل غیرخطی، تنش اعضا از حد تسلیم خود فراتر نخواهد رفت، شرط تسلیم از شروط لازم برای اینستی سازه همواره برقرار خواهد بود. فروریختگی سازه تحت بارهای ایستا زمانی اتفاق می افتد که مفاصل تشکیل شده در سازه تشکیل یک مکانیزم بدنهند. در این حالت تغییر شکل های سازه به سمت بی نهایت میل می کنند. دلیل ماهیت رفت و برگشتی تحریک زلزله، با فرض عدم شکست مفاصل ناشی از شکل پذیری، هیچ گاه تغییر مکان های سازه تحت اثر زلزله به سمت بی نهایت میل نمی کنند. در نتیجه برای بررسی رفتار سازه نمی توان مکانیزم سازه را بررسی کرد. با توجه به این که در روند اثبات و بررسی قضیه ایمن، شکل پذیری کافی برای اعضا در نظر گرفته شده است و همچنین ایجاد این شرایط در عمل امکان پذیر نیست؛ احتمال خرابی موضعی در سازه به دلیل وجود شکل پذیری کم یا ناقافی وجود دارد. بنابراین، در بررسی رفتار سازه نسبت تقاضای شکل پذیری چرخشی اعضا پس از اعمال تغییرات مقاومت و سختی، در مقایسه با مقادیر این نسبت در سازه ای اولیه ملاک عمل قرار داده شده است. در این پژوهش مقاومت و سختی ابتدا با انتهای اعضا که بیشترین نسبت چرخش خمیری به چرخش حد تسلیم خود را داشته اند، در محدوده مورد نظر تغییر داده شده است. مقدار چرخش حد تسلیم مطابق رابطه ۱ به دست می آید.

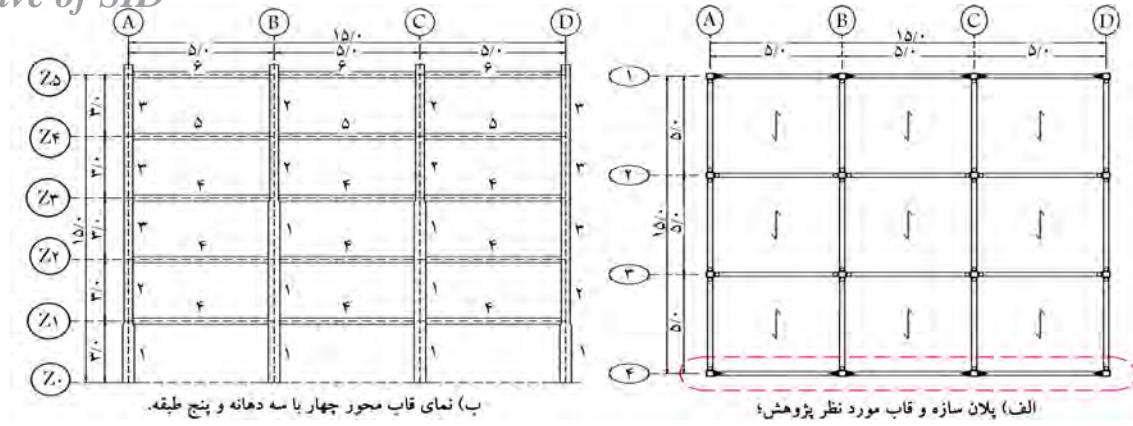
$$(1) \quad \theta_y = \frac{Z E_y L}{6 EI} [1/5]$$

روند انجام پژوهش و استخراج نتایج مطابق نمودار گردشی شکل ۱ است. پس از مدل سازی، بارگذاری و تحلیل پویا سازه، مقادیر چرخش خمیری در یک مترابدا و انتهای تیرها و ستونها - محل های پتانسیل تشکیل مفصل خمیری - از نتایج خروجی نرم افزار استخراج شده و به چرخش حد تسلیم خود مطابق رابطه ۱ نرمال شده است. سپس برای بررسی اثرات تغییر مشخصات تیرها بیشترین نسبت این نسبت بین تیرها انتخاب شده است. فرایند انتخاب مفصل برای انجام تغییر مشخصات ستونها نیز به همین ترتیب است. این نسبت با μ_{max} در نمودار گردشی نشان داده شده است. با توجه به این که از ۲۹ شتاب نگاشت مختلف برای بارگذاری پویا استفاده شده است، موقعیت μ_{max} برای هر تحلیل متفاوت است. پس از انتخاب مفصل مورد نظر، مقاومت و سختی آن، به میزان $0/8, 0/85, 0/9, 0/95, 0/10, 0/105, 0/11, 0/115, 0/12, 0/13, 0/14, 0/145, 0/15$ مقدار اولیه تغییر داده شده

۳. نحوه مدل سازی

قاب خمشی فولادی مورد مطالعه در پلان شکل ۲ - الف نشان داده شده است. مطابق این شکل تمام اتصالات اعضا به جز قاب محوریک و چهار مفصل ایاند تا جرم لرزه‌یی به صورت متقارن بین قاب‌ها توزیع شود؛ اتصالات این دو محور به صورت گیردار در نظر گرفته شده است. در شکل ۲ - ب نیز نمای قاب محور چهار به همراه طول و تعداد دهانه‌ها و مشخصات اعضا مشاهده می‌شود. با توجه به سطح بارگیر مشخص، برای تیرهای طبقه‌ی اول تا چهارم مقادیر بار تقلیل مرده و زنده به ترتیب برابر 50° و 55° کیلوگرم بر متر لحاظ شده است. جرم لرزه‌یی قاب نیز با توجه به سهم باربری قاب، سه کیلوگرم بر متر لحاظ شده است. جرم لرزه‌یی قاب نیز با توجه به هر طبقه اعمال شده آخر برابر $60^{\circ} 75^{\circ}$ کیلوگرم است که به صورت نقطه‌یی به هر طبقه اعمال شده است. جزئیات مقاطع در نظر گرفته شده که در قاب شکل ۲ - ب نشان داده شده است، مطابق جدول ۱ است. برای طراحی اعضا از مقاطع ساخته شده با ورق یا مقاطع I و H شکل استفاده شده است.

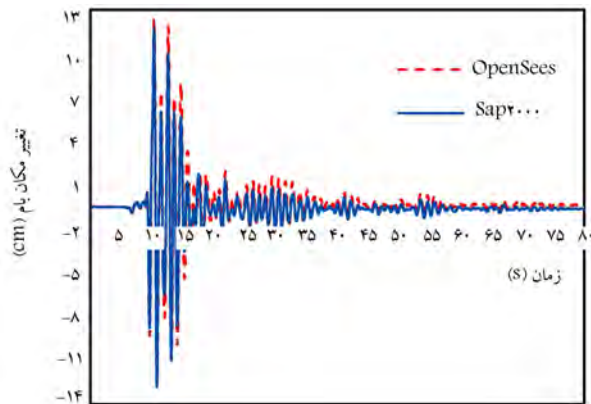
این قاب با مشخصات ذکر شده در نرم افزار OpenSees مدل سازی و تحلیل شده است. رفتار مصالح به صورت دوخطی با مشخصات فولاد شامل مدل کشسانی (E) برابر 2×10^5 مگاپاسکال، تنش حد تسلیم (F_y) برابر 240 مگاپاسکال و شیب تاچیه‌یی سخت‌شوندگی (E_c) برابر 40° مگاپاسکال در نظر گرفته شده است. این مشخصات در شکل ۳ نیز مشاهده می‌شود. رفتار اجزای قاب از نوع رشته‌یی 1° ناکشسان است. در این نوع از مفاصل، معیار تسلیم هر یک از رشته‌ها، رسیدن تنش محوری به حد تسلیم مشخص شده است. اتصالات اجزا به یکدیگر به صورت یک پارچه است و چشممه‌ی اتصال در نظر گرفته نشده است. اتصال سازه به زمین نیز به صورت گیردار است. همچنین نقاط کف هر طبقه دیافراگم است. در این پژوهش از اثرات P-Delta- P-صرف نظر شده است.



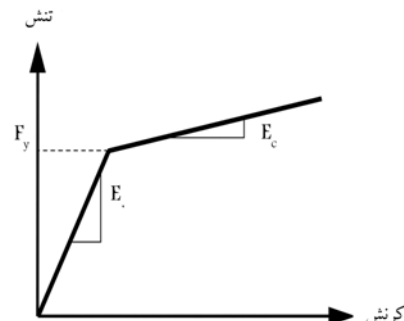
شکل ۲. مدل‌سازی قاب خمسی دو بعدی فولادی.

جدول ۱. مشخصات مقاطع برای طراحی مدل بر حسب سانتی‌متر.

شماره‌ی قطع	نوع قطع	ارتفاع کلی جان (cm)	ضخامت ورق جان (cm)	عرض ورق بال‌ها (cm)	ضخامت ورق بال‌ها (cm)	اساس مقطع خميری (Z) (cm ³)	چرخش حد تسلیم (θ _y)
۱	H	۴۰	۲	۳۰	۲	۲۹۲۸	۰/۰۰۳۴۳۵
۲	H	۳۰	۱/۵	۳۰	۲	۱۹۳۲/۵۰	۰/۰۰۴۵۰۵
۳	H	۳۰	۱	۳۰	۱	۱۲۲۷/۲۴	۰/۰۰۳۴۳۵
۴	I	۳۰	۰/۶	۲۵	۲	۱۵۰۱/۴۰	۰/۰۰۴۴۱۱
۵	I	۳۰	۰/۶	۲۰	۱/۵	۹۶۴/۳۵	۰/۰۰۷۳۱۷
۶	IPE	۲۷	۰/۶	۱۲/۵	۱/۰۲	۴۸۴	۰/۰۰۸۳۵۹



شکل ۴. صحت‌سنجی تحلیل دینامیکی غیرخطی مدل.



شکل ۳. رفتار مصالح فولادی.

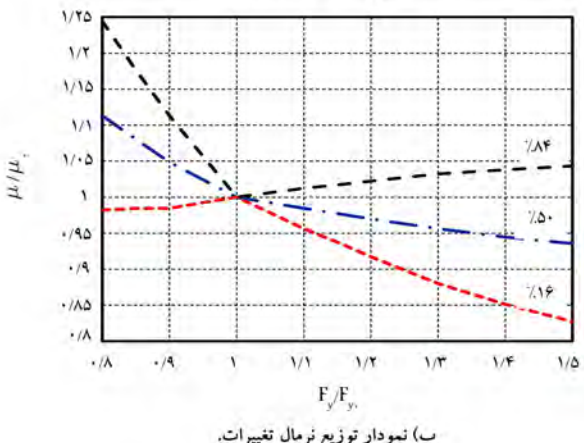
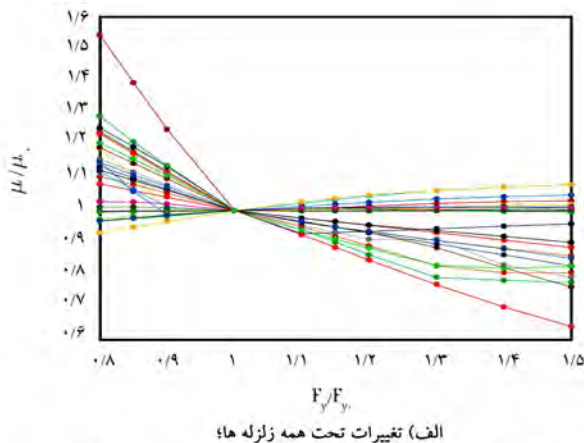
برای اجرا تحلیل پویا غیرخطی از شتاب‌نگاشتهای جدول ۲ استفاده شده است. برای اجرا تحلیل ایستا غیرخطی نیز تغییرمکان هدف هر مدل برابر با بیشترین مقدار تغییرمکان بام در هر تحلیل پویا در نظر گرفته شده است.

۴. نمودارهای تغییر موضعی مشخصات ستون‌ها

در ادامه به منظور بررسی عددی نتایج قضیه‌ی این، بیشترین نسبت چرخش خمیری اعضا به چرخش حد تسلیم خود، در کل سازه با تغییر مشخصات ستون‌ها در محدوده‌ی مورد نظر آورده شده است. بررسی‌ها شامل دو بخش تغییرات مقاومت و سختی است و نتایج هر کدام نیز در صورت لزوم با تحلیل ایستا غیرخطی مقایسه می‌شود.

برای اطمینان از عدم وجود خطای مدل‌سازی، قاب مورد نظر در نرم‌افزار SAP2000 نیز مدل و بارگذاری شده است. در شکل ۴ تاریخچه‌ی تغییرمکان بام تحت تحلیل پویا غیرخطی و بارگذاری زلزله ورزقان در هر دو نرم‌افزار مشاهده می‌شود. مطابق شکل ۵ تغییر مکان بام در هر دو نرم‌افزار به اندازه‌ی قابل قبولی با هم تطابق دارند. همچنین در شکل نمودار برش - تغییرمکان بام، طی تحلیل ایستا غیرخطی آورده شده است.

مطابق این شکل نیز نتایج هر دو نرم‌افزار با تقریب خوبی، به یکدیگر هم‌گرامی شوند.



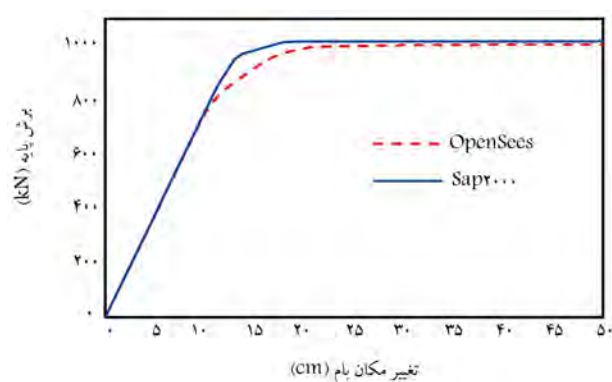
شکل ۷. نمودار تغییرات نسبت چرخش خمیری بر حسب تغییرات مقاومت ستونها تحت تحلیل دینامیکی.

خط بیان‌گر یک تحلیل دینامیکی با مشخصات جدول ۲ است. روی هر خط نقطه دیده می‌شود که هر نقطه مطابق محدوده‌ی پیش‌تر ذکر شده، مربوط به یک مدل پس از تغییرات مقاومت است.

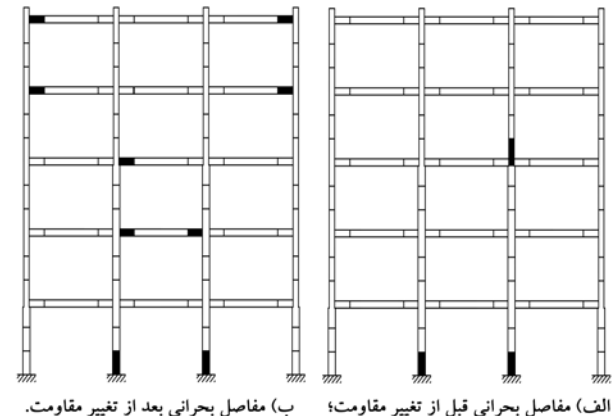
در این شکل ۷ برابر پیش‌ترین نسبت چرخش خمیری ایجاد شده به چرخش حد تسیلیم ستون‌ها در سازه‌ی اولیه (قبل از تغییرات) و پیش‌ترین نسبت چرخش خمیری ایجاد شده به چرخش حد تسیلیم کل اعضای سازه پس از تغییر مشخصات است. منظور از F_y و F_y نیز به ترتیب تنش حد تسیلیم (مشخصه‌ی مقاومت) هر عضو قبل و پس از اعمال تغییرات است.

مطابق نمودار شکل ۷ - الف به طور کلی با تغییر مقاومت در محدوده $1/8$ الی $1/5$ برابر مقاومت اولیه، نسبت تغییرات تقاضای شکل‌پذیری سازه تقریباً در بازه $1/64$ الی $1/5$ است. به عبارت دیگر محدوده‌ی تغییرات تقاضای شکل‌پذیری بیشتر از $1/64$ بیشتر از تغییر مقاومت ستون‌هاست. با توجه به این شکل طی پیش‌ترین تحلیل‌ها، افزایش موضعی مقاومت در ستون‌ها موجب کاهش تدریجی پیش‌ترین تسیلیم کل سازه اعم از تیر یا ستون مطابق شکل ۶ - ب به دست آمده است. همان طور که مشاهده می‌شود، با تغییر مقاومت ستون‌ها، محل بحرانی ترین مفصل به لحاظ شکل‌پذیری، یا ثابت مانده یا تغییر کرده است. در ادامه نتایج این تغییرات به صورت نمودار ارائه می‌شود.

در شکل ۷ - ب توزیع نرمال همان نمودار قبلی رسم شده است. این نمودار



شکل ۵. صحبت‌سنگی تحلیل ایستا غیرخطی مدل.



شکل ۶. مفاصل با بیشترین مقدار نسبت چرخش خمیری طی تحلیل‌های دینامیکی.

۱.۴. نمودارهای تغییر موضعی مقاومت ستون‌ها

در این قسمت تغییرات موضعی مقاومت در ابتدا انتهای یکی از اعضای ستون‌ها که بیش‌ترین چرخش خمیری را به نسبت چرخش حد تسیلیم خود داشته است، بررسی شده است. مطابق توضیحات قبلی، به دلیل عدم وجود ناپایداری دینامیکی در سازه و به منظور بررسی احتمال خرابی موضعی اعضاء، تغییرات بیش‌ترین نسبت چرخش خمیری یا تقاضای شکل‌پذیری چرخشی اعضاء بررسی شده است. موقعیت بحرانی ترین مفاصل قبل و پس از تغییر مقاومت و سختی تیرها و ستون‌ها به تفکیک زلزله‌های مختلف به طور تفصیلی در مرجع [۱۸] آورده شده است. ولی در این مقاله به دلیل محدودیت فضای نوشتاری در شکل ۶ - الف مفاصلی از ستون‌ها که قبل از تغییر مقاومت طی همه‌ی بارگذاری‌ها، دارای بیش‌ترین نسبت چرخش خمیری بوده‌اند در شکل ۶ - ب مفصلی که بیش‌ترین تقاضای شکل‌پذیری پس از تغییر مقاومت را داشته‌اند، آورده شده است. مطابق شکل ۶ - الف طی انجام تحلیل دینامیکی، سه مفصل در موقعیت‌های متفاوت ستون‌ها، دارای بیش‌ترین مقدار نسبت چرخش خمیری به چرخش حد تسیلیم بوده‌اند. بنابراین، مقاومت این اعضاء تغییر یافته است و نتایج تغییرات تقاضای شکل‌پذیری در مفاصل کل سازه اعم از تیر یا ستون مطابق شکل ۶ - ب به دست آمده است. همان طور که مشاهده می‌شود، با تغییر مقاومت ستون‌ها، محل بحرانی ترین مفصل به لحاظ شکل‌پذیری، یا ثابت مانده یا تغییر کرده است. در ادامه نتایج این تغییرات به صورت نمودار ارائه می‌شود.

در شکل ۷ - الف نتایج تغییر مقاومت موضعی ستون‌ها در محدوده $1/8$ تا $1/5$ برابر مقاومت اولیه مشاهده می‌شود. در این شکل ۷ خط وجود دارد که هر

شماره	سال وقوع	نام زلزله	نام ایستگاه	نام	مدل	شتاب (m/s ²)	مقایسه برشگ نمایی	فاصله تا کانون زلزله (Km)	دورهی غالب (sec)
۱	۱۹۷۸	Tabas	Tabas	Tabas		۸/۹۸	۱	۵۴	۰/۲۴
۲	۲۰۱۷	Sarpolzahab	Sarpolzahab	Sarpolzahab		۹/۸۴	۱	۲۹	۰/۲۱
۳	۱۹۹۰	Manjil	Manjil	Manjil		۹/۳۵	۲	۴۱	۰/۱۶
۴	۲۰۰۳	Bam	Bam	Bam		۸	۱	۶	۰/۲۱
۵	۲۰۱۲	Varzaqan	Varzaqan	Varzaqan		۴/۲۶	۱/۲۰	۲۵	۰/۱۹
۶	۲۰۰۲	Qoml	Qoml	-		۰/۰۸	۲۰	۲۱۲	۱
۷	۱۹۹۹	Duzce	Sakarya	Duzce-Turkey		۰/۲۴	۳۱	۴۵	۰/۱۲
۸	۱۹۹۹	Duzce	Bolu	Duzce-Turkey		۷/۳	۱/۱	۱۲	۰/۳۲
۹	۱۹۷۹	Elcentro	Coachella Canal	Imperial Valley		۱/۱۴	۵	۴۹	۰/۴۳
۱۰	۱۹۷۹	ImpVall	Delta	Imperial Valley		۲/۳	۲/۵	۲۲	۰/۴۹
۱۱	۱۹۷۹	ImpVall	Bonds Comer	Imperial Valley		۵/۸	۰/۴۴	۰/۴۲	۰/۴۲
۱۲	۲۰۱	El Mayor	Mexico	El Mayor		۲/۰۳	۲	۲۵	۰/۱۴
۱۳	۱۹۷۱	Sfern	Carbon Canyon Dam	Scan Fernando		۲/۰۳	۹/۵	۶۲	۰/۱۲
۱۴	۱۹۹۹	Hector	Hector	Hector		۲/۶	۲/۵	۱۰	۰/۲۲
۱۵	۱۹۸۷	Super	El Centro	Superstition Hills		۳/۵	۲	۱۸	۰/۱۹
۱۶	۱۹۸۷	Super	Poe Road	Superstition Hills		۴/۷	۱/۶	۱۱	۰/۴۶
۱۷	۱۹۷۶	Gazli	Karakyr	Gazli		۵/۹	۱	۴	۰/۰۷
۱۸	۱۹۹۴	Northr	Beverly Hills	Northridge		۴/۴	۱	۹/۵	۰/۵۳
۱۹	۱۹۹۴	Northr	Canyon Country	Northridge		۴/۰۴	۱/۲	۱۱/۴	۰/۵۸
۲۰	۱۹۹۴	Northr	LA-Sepulveda	Notrhridge		۲/۴	۲/۱	۲۲	۰/۶۸
۲۱	۱۹۹۲	Landers	Yermo Fire Station	Landers		۲/۴	۲/۱	۲۲	۰/۶۸
۲۲	۱۹۹۲	Landers	Coolwater	Landers		۲/۸	۲/۲	۲۰	۰/۳۳
۲۳	۱۹۸۹	Lomap	Capitola	Loma Prieta		۵/۱	۱	۸/۷	۰/۲۸
۲۴	۱۹۹۹	Lomap	Bran	Loma Prieta		۴/۴۸	۱	۳/۸۵	۰/۲۲
۲۵	۲۰۰۲	Denali	TAPS Pump	Denali		۳/۳	۱	۰/۱۸	۰/۹۳
۲۶	۱۹۹۹	ChiChi	CHY۱۰۱	Chi-Chi		۳/۳	۲	۱۰	۰/۱۷
۲۷	۱۹۹۹	ChiChi	TCU۰۴۵	Chi-Chi		۴/۶	۱/۵	۲۶	۰/۴۴
۲۸	۱۹۹۹	ChiChi	TCU۰۶۷	Chi-Chi		۴/۹	۱	۰/۶۲	۰/۳۴
۲۹	۱۹۷۱	Sfern	LA-Hollywood	Scan Fernando		۲/۲	۳/۲	۲۲	۰/۲۴

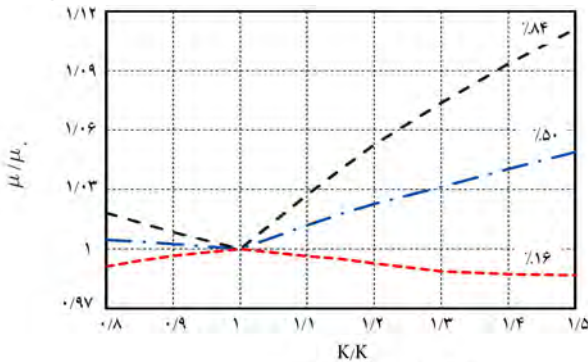
که بیشترین چرخش خمیری را به نسبت چرخش حد تسلیم خود داشته است. بررسی شده است. مطابق توضیحات قبلی موقعیت این عضو با توجه به بارگذاری دینامیکی متغیر است.

۱.۴. تغییر سختی ستون‌ها تحت تحلیل دینامیکی
 اختلاف‌هایی از قبیل رفتار مصالح، ابعاد سازه، خطاهای ساخت و... که پیشتر نیز ذکر شد، علاوه بر مقاومت اعضا بر سختی آنها نیز مؤثر است. به همین دلیل طی تغییر سختی موضعی ستون‌ها، مقادیر بیشترین نسبت چرخش خمیری اعضا استخراج شده است. نتایج حاصل از این تغییرات در شکل ۸ - الف مشاهده می‌شود. در این شکل K و K' به ترتیب برابر با سختی عضو پیش از تغییر و پس از تغییر است. توضیحات بیشتر درباره این نمودار در قسمت قبلی ارائه شده است.

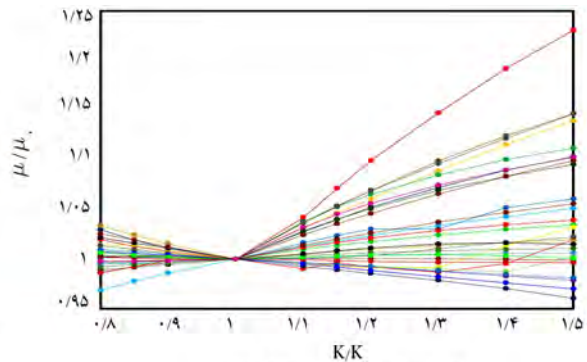
می‌توان در شکل ۸ - الف مشاهده کرد که با بیشترین افزایش سختی تقاضای

شامل سه خط میانگین مقادیر، میانگین به علاوه انحراف معیار و میانگین منهای انحراف معیار است. در این نمودار ۵۰ درصد مقادیر از خط میانی، ۸۴ درصد از خط بالایی و ۱۶ درصد از خط پایینی پیروی می‌کنند. مطابق این شکل نزد تغییرات نسبت چرخش خمیری در حالت افزایش و کاهش مقاومت تقریباً برابر است. همچنین به طور میانگین با افزایش مقاومت بیشینه شش درصد نسبت چرخش خمیری کاهش و در کرانه‌ی بالایی این نسبت چهار درصد افزایش یافته است. درنتیجه به طور میانگین با افزایش مقاومت طرح مورد نظر دچار فروریختگی جزئی یا کلی نمی‌شود و اینمی‌لازم را دارد. بنابراین، نیازی به مقایسه‌ی نتایج این تحلیل با تحلیل ایستا غیرخطی نیست.

۲.۴. نمودارهای تغییر موضعی سختی ستون‌ها
 در این قسمت تغییرات موضعی سختی در ابتدا یا انتهای یکی از اعضای ستون‌ها

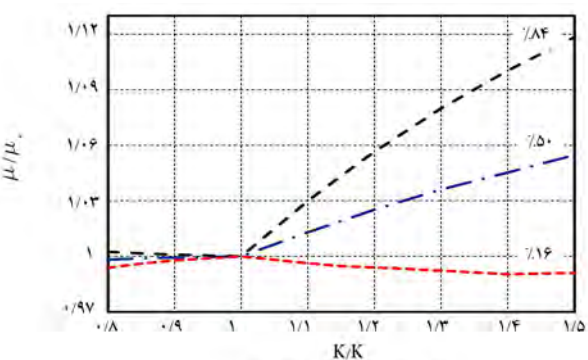


ب) نمودار توزیع نرمال تغییرات.

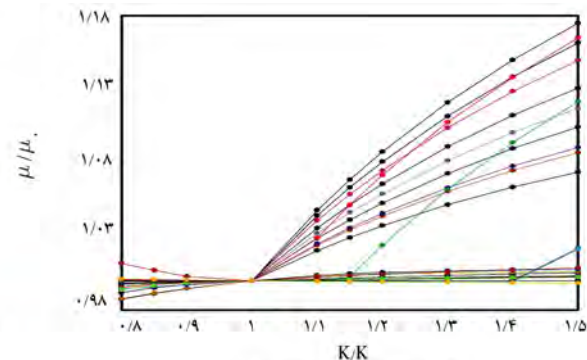


الف) تغییرات تحت همه زلزله ها؛

شکل ۸. نمودار تغییرات نسبت چرخش خمیری بر حسب تغییرات سختی ستون ها تحت تحلیل دینامیکی غیرخطی.

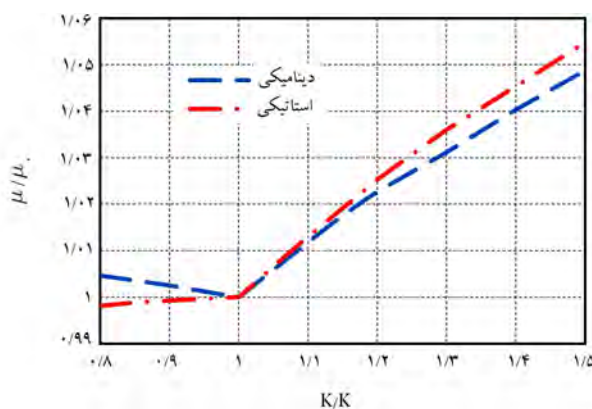


ب) نمودار توزیع نرمال تغییرات.



الف) تغییرات تحت همه حالات؛

شکل ۹. نمودار تغییرات نسبت چرخش خمیری بر حسب تغییرات سختی ستون ها تحت تحلیل ایستا غیرخطی.



شکل ۱۰. نمودار مقدار میانگین تغییرات چرخش خمیری اعضا تحت دو تحلیل دینامیکی و ایستا غیرخطی با تغییر سختی ستون ها.

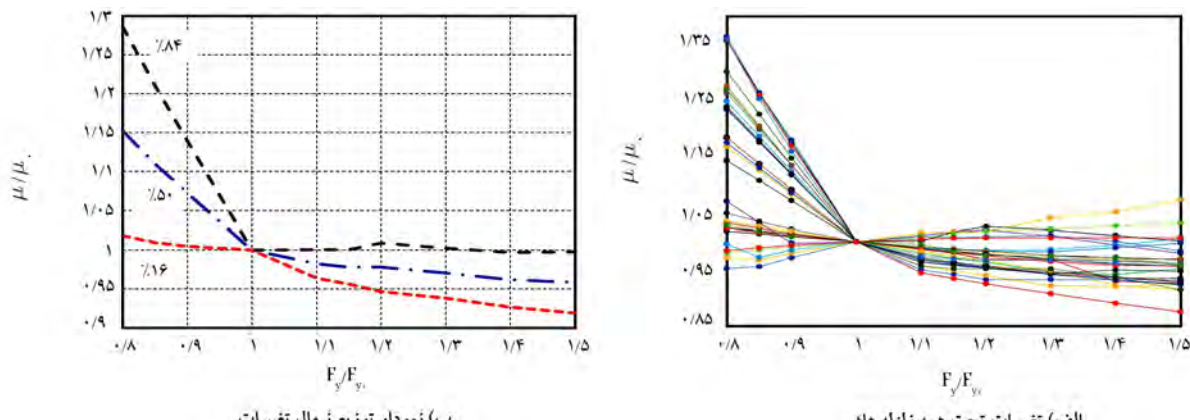
بیشترین تغییرمکان بام به عنوان تغییرمکان هدف در نظر گرفته شده و تحلیل ایستا غیرخطی به ازای آن انجام شده است. شکل ۹ - ب نیز توزیع نرمال آن را نشان می دهد.

مطابق شکل ۹-الف با افزایش سختی بیشینه ۱۷ درصد تقاضای شکل پذیری افزایش یافته است. همچنین در شکل ۹ - ب به طور کلی با افزایش سختی تقاضای شکل پذیری افزایش یافته است که به طور میانگین برابر ۵ درصد است. به منظور انجام مقایسه بین این دو تحلیل در شکل ۱۰ میانگین مقادیر بیشترین چرخش خمیری هر دو تحلیل آورده شده است.

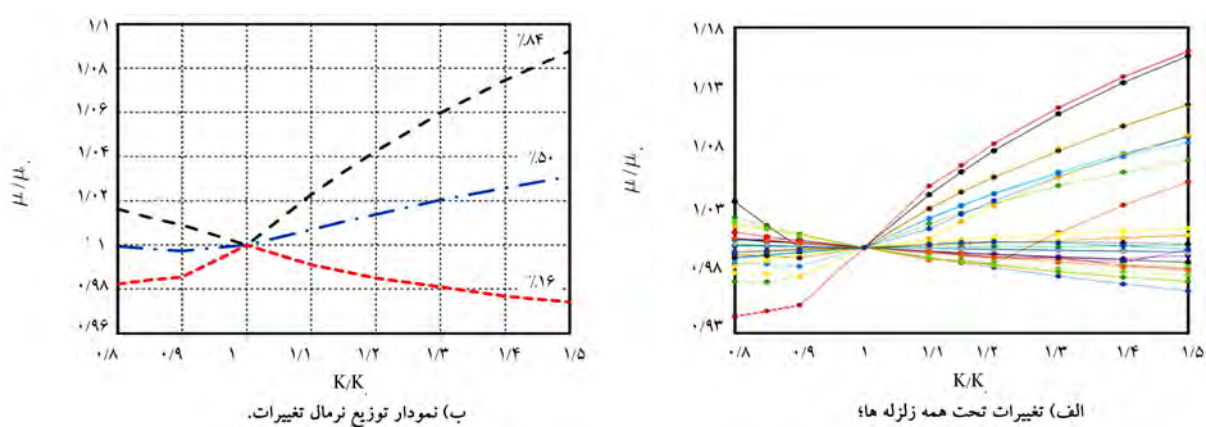
شکل پذیری چرخشی بیشینه ۲۳ درصد و با کاهش سختی این مقدار تا چهار درصد افزایش یافته است. شکل کلی نمودار نیز نشان می دهد که با افزایش سختی موضعی ستون ها، بیشترین نسبت چرخش خمیری اعضا افزایش یافته است و بر عکس. به نظر می رسد با افزایش موضعی سختی یکی از ستون ها در سازه توزیع نیرو تغییر کرده است و به دلیل جذب نیروی بیش تر در اکثر موارد، تقاضای شکل پذیری چرخشی افزایش یافته است.

در شکل ۸ - ب مشابه نمودارهای تغییر مقاومت ستون ها، توزیع نرمال نمودار تغییرات سختی رسم شده است. مطابق این نمودار نیز تغییرات در هنگام افزایش سختی بیش تر از کاهش آن است. در این حالت به طور میانگین با افزایش سختی تقریباً پنج درصد تقاضای شکل پذیری افزایش یافته است.

۴.۲.۴. تغییر سختی ستون ها تحت تحلیل ایستا
چنانچه در بخش قبلی مشاهده شد، با افزایش سختی ستون ها، نیاز شکل پذیری به طور کلی افزایش پیدا کرده است. این موضوع ممکن است موجب ایجاد شکست در سازه و در نتیجه فروریختگی کلی یا موضعی شود. نکته قابل بررسی این است که در تحلیل های ایستا - که بر پایه قضاوی اخیری، این می سازه تضمین می شود - نیز افزایش نیاز شکل پذیری وجود دارد. سؤال این است که آیا افزایش نیاز شکل پذیری در بارهای پویا در همان حدود تحلیل ایستا است یا بیشتر. برای بررسی این موضوع، بار دیگر سازه های تغییر یافته تحت بارهای ایستا تحلیل می شوند. در شکل ۹ - الف نتایج به دست آمده از این تحلیل آورده شده است. همان طور که پیش تر ذکر شد برای هر خط از این نمودار،



شکل ۱۱. نمودار تغییرات نسبت چرخش خمیری بر حسب تغییرات مقاومت تیرها تحت تحلیل دینامیکی غیرخطی.



شکل ۱۲. نمودار تغییرات نسبت چرخش خمیری بر حسب تغییرات سختی تیرها تحت تحلیل دینامیکی غیرخطی.

گفت به طور میانگین با افزایش مقاومت تقاضای شکل پذیری کاهش می‌یابد و در این شرایط سازه دچار فروریختگی کلی یا جزئی نمی‌شود و اینمی لازم را دارد.

همان طور که مشاهده می‌شود با افزایش سختی میانگین مقادیر تقاضای شکل پذیری ناشی از تحلیل ایستا بیشتر از تحلیل پویا غیرخطی است. در نتیجه می‌توان گفت با افزایش سختی سازه، رعایت محدودیت‌های آینین نامه منجر به اینمی سازه می‌شود. این موضوع با کاهش سختی برقرار نیست.

۲.۵. نمودارهای تغییر موضعی سختی تیرها

در این بخش مشابه قبل با تغییر سختی موضعی در یکی از تیرها تغییرات نیاز شکل پذیری سازه بررسی شده است و نتایج آن با تحلیل ایستا غیرخطی مقایسه می‌شود.

۲.۵.۱. تغییر سختی تیرها تحت تحلیل دینامیکی
در این قسمت تغییر سختی تیرها در محدوده‌ی مورد نظر انجام و نتایج آن در شکل ۱۲ - الف و همچنین توزیع نرمال آن در شکل ۱۲ - ب آورده شده است. مطابق شکل ۱۲ - الف تقاضای شکل پذیری بیشینه ۱۶ درصد افزایش یافته است و مطابق شکل ۱۲ - ب به طور میانگین این نسبت تقریباً ۳ درصد افزایش یافته است.

۲.۵.۲. تغییر سختی تیرها تحت تحلیل ایستا
از آنجایی که با افزایش سختی تیرها تقاضای شکل پذیری افزایش یافته است، لازم است به منظور بررسی اینمی سازه نتایج ناشی از تحلیل پویا با تحلیل ایستا غیرخطی مقایسه شود.

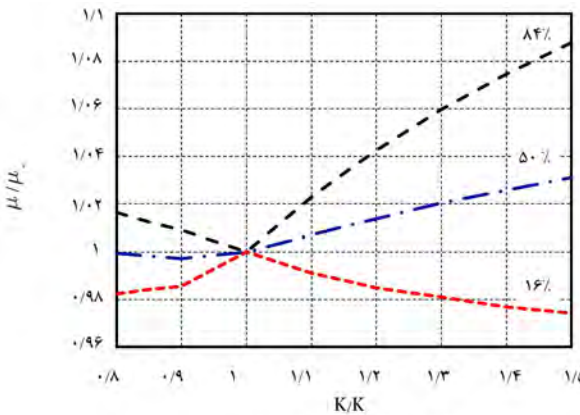
مطابق شکل ۱۳ - الف تقاضای شکل پذیری بیشینه ۱۶ درصد و مطابق شکل

۵. نمودارهای تغییر موضعی مشخصات تیرها

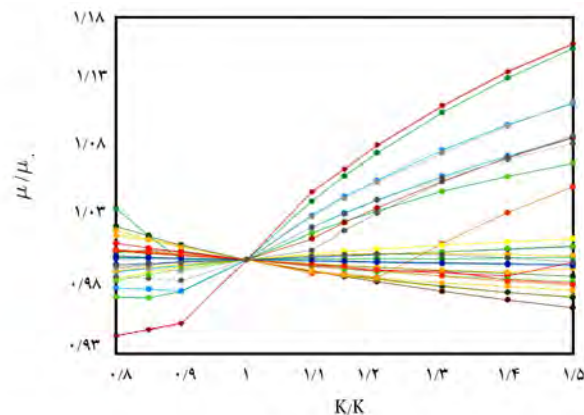
در این قسمت نتایج بیشترین چرخش خمیری اعضا در کل سازه با تغییر مقاومت و سختی یکی از تیرها آورده شده است. همچنین در صورت نیاز نتایج ناشی از تحلیل دینامیکی با تحلیل ایستا مقایسه می‌شود.

۱. نمودارهای تغییر موضعی مقاومت تیرها

تغییرات جزوی مقاومت در یکی از مفاصل تیرها که بیشترین چرخش خمیری را به نسبت چرخش تسلیم خود داشته است، بررسی شده است. نمودارهای تغییرات بیشترین نسبت چرخش خمیری به صورت مطابق شکل ۱۱ - الف است. در شکل ۱۱ - ب نیز نتایج به صورت توزیع نرمال آورده شده است. مطابق این شکل تحت بیشترین زلزله‌ها با افزایش مقاومت عضو به تدریج نسبت نیاز شکل پذیری کاهش یافته است و بر عکس. مطابق شکل ۱۱ - ب نیز می‌توان



ب) نمودار توزیع نرمال تغییرات.



الف) تغییرات تحت همه زلزله ها:

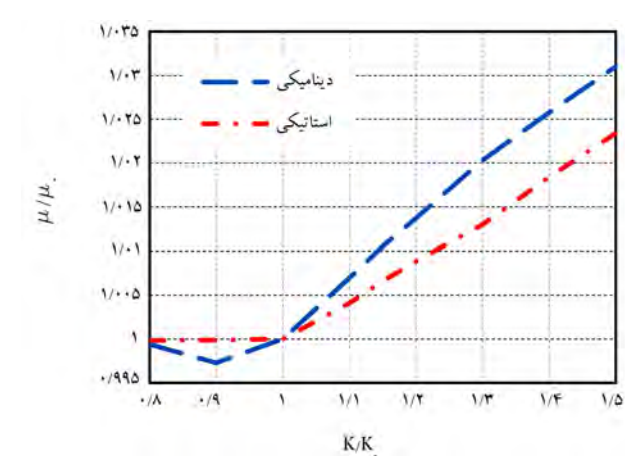
شکل ۱۳. نمودار تغییرات نسبت چرخش خمیری بر حسب تغییرات سختی تیرها تحت تحلیل ایستا غیرخطی.

می‌شود که با افزایش موضعی مقاومت بحرانی ترین عضو در ستون‌ها و تیرها، به طور کلی نیاز شکل‌پذیری اعضاء کاهش یافته است. در بعضی موارد با بیشترین افزایش مقاومت ستون‌ها و تیرها به ترتیب بیشینه $1/8$ درصد و $7/3$ درصد نیاز شکل‌پذیری اعضاء افزایش یافته است. مقدار این تغییرات در مقایسه با 50 درصد افزایش مقاومت بسیار کم است.

با توجه به مقایسه نتایج تحلیل‌های دینامیکی و ایستا و رعایت محدودیت‌های آین نامه می‌توان گفت با افزایش موضعی مقاومت اعضاء، سازه‌ی مورد نظر با ظرفیت شکل‌پذیری مشخص، طی شتاب‌نگاشت‌های اعمال شده به سازه اینمنی لازم را دارد. اما در خصوص کاهش مقاومت نمی‌توان این چنین نتیجه گرفت.
با افزایش سختی سنتون‌ها و تیرها به ترتیب تحت تحلیل پویا غیرخطی بیشینه 23 میزان برای تغییرات ستون‌ها و تیرها به ترتیب تحت تحلیل پویا غیرخطی بیشینه 16 درصد و تحت تحلیل ایستا غیرخطی بیشینه برابر 17 و 22 درصد بوده است. با افزایش جزئی سختی ستون‌ها، میانگین نیاز شکل‌پذیری در حالت پویا کمتر از حالت ایستا است. همچنین با افزایش جزئی سختی تیرها نتایج این دو تحلیل بسیار به هم نزدیک هستند. در نتیجه می‌توان گفت در بررسی انجام شده، با افزایش موضعی سختی سازه، نیاز شکل‌پذیری کمتر از ظرفیت شکل‌پذیری سازه است. این موضوع با کاهش سختی برقرار نمی‌شود.
با انجام این پژوهش می‌توان نتیجه گرفت که به صورت کلی با افزایش جزئی و موضعی مشخصات اعضای سازه، طرح مورد نظر طی تحلیل‌های دینامیکی صورت گرفته و با توجه به مقایسه نتایج ناشی از تحلیل ایستا، به صورت کلی و جزئی دچار فرو ریختگی نمی‌شود و مطابق آین نامه‌های مرسوم اینمنی لازم را دارد.

مواردی که به عنوان پیشنهاد برای مطالعات آتی می‌توان نام برد، به شرح زیر است:

- ۱- انواع قاب‌ها با دهانه‌ها و طبقات مختلف;
- ۲- استفاده از شتاب‌نگاشت‌های بیشتر به منظور حصول نتیجه مطمئن‌تر؛
- ۳- بررسی تغییرات مشخصات به صورت طبقه‌بی به منظور بررسی اثرات طبقه ضعیف و نرم در سازه‌ها یا تغییر مشخصات کل سازه؛
- ۴- بررسی اندرکش تغییرات مقاومت و سختی اعضاء؛
- ۵- استفاده از ترکیب‌های احتمالاتی برای تعیین محدوده تغییرات مشخصات.



شکل ۱۴. نمودار مقدار میانگین تغییرات چرخش خمیری اعضاء تحت دو تحلیل دینامیکی و ایستا غیرخطی با تغییر سختی تیرها.

۱۳ - ب) به طور میانگین این مقدار بیشینه سه درصد افزایش یافته است. نمودارهای انحراف معیار هر دو تحلیل نیز در شکل ۱۴ آورده شده است.

همان طور که مشاهده می‌شود با افزایش سختی میانگین مقدادر نتایج شکل‌پذیری ناشی از تحلیل استاتیکی و دینامیکی غیرخطی بسیار به هم نزدیک‌اند. در نتیجه می‌توان گفت با افزایش سختی سازه در محدوده مجاز فرضی آین نامه قرار دارد.

۶. نتیجه‌گیری

در این مقاله، قاب خمیشی دو بعدی فولادی مورد مطالعه در مجموع طی 1740 تا $1/5$ تا $1/8$ برابر تحلیل ایستا و دینامیکی قرار گرفته است. محدوده تغییرات از $0/0$ تا $1/5$ مقاومت و سختی یکی از تیرها یا ستون‌ها در کل سازه بوده است. به دلیل این که مکانیزم در سازه رخ نداده است و همچنین تغییر مکان‌های بام به میزان زیادی تغییرات نداشته‌اند، تغییرات نسبت چرخش خمیری اعضاء به عنوان شاخصی برای بررسی سازه در نظر گرفته شده است.
با بررسی مجموع نتایج ناشی از تغییرات تیرها و ستون‌ها این نتیجه حاصل

1. Kazinczy
2. Melan
3. Newmark
4. Hall
5. Mosleh
6. Northridge
7. Stillmaker
8. Song
9. frame
10. fiber

(References) مراجع

1. Kazinczy, G. "Tests with fixed-ended beams", *Beton-szemele*, **2**, pp.101-104 (1914).
2. Baker, J. and Heyman, J. "Plastic design of frames 1 fundamentals", *CUP Archive*, **1**, pp.140 (1980).
3. Melan, E. "Zur plastizit des räumlichen kontinuums" *Ingenieur-Archiv*, **92** pp. 116-126, **9**(2), pp.116-126 (1938).
4. Newmark, N.M. "A method of computation for structural dynamics", *American Society of Civil Engineers* (1959).
5. Samimifar, M., Oskouei, A.V. and Rofooei, F.R., "Deflection amplification factor for estimating seismic lateral deformations of RC frames", *Earthquake Engineering and Engineering Vibration*, **142**, pp. 373-384 (2015).
6. Mosleh, A., Rodrigues, H., Varum, H. and et al. "Seismic behavior of RC building structures designed according to current codes", *Journal of Engineering Structures*, **7**, pp. 1-13 (2016).
7. Azhdarifar, M. and Meshkat-Dini, A. "Study on the seismic response parameters of modular tube steel mid-rise buildings under effects of near field ground motions", In: SID, (in Persian) (2015).
8. Eshghi, S. and Maki abadi, M., "Developing theoretical fragility curves for conventional mid-rise concrete buildings in Iran", *University of Science & Culture, tehran*, (in Persian) (2013).
9. Sivandi-Pour, A., Gerami, M. and Taghdisi, M., "Assessment of the effect of column base connection rotational stiffness on seismic behavior of the steel moment frames", *Sharif Journal of Civil Engineering*, **35.22.1**, pp. 83-92,(in Persian)(2019).
10. Khazei, J., Amiri, A. and Khalilpour, M., "Influence of foundation dimensions on seismic performance of intermediate structures with respect to the effects of soil-foundation-structure dynamic interaction and comparison with cone model", *Sharif Journal of Civil Engineering*, **34.24.1**, pp. 13-25, (in Persian) (2019).
11. Stillmaker, K., Kanvinde, A. and Galasso, C., "Fracture mechanics-based design of column splices with partial joint penetration weld", *Journal of Structural Engineering*, **142**(2), pp.04015115-1-14 (2016).
12. Stillmaker, K. Lao, X. Galasso, C. and et al. "Column splice fracture effects on the seismic performance of steel moment frames", *Journal of Constructional Steel Research*, **137**, pp. 93-101 (2017).
13. Stillmaker, K., Magdaleno, A., Nazari, M. and et al. "Assessment of column splice fracture influence on seismic performance of steel moment frames", *Eleventh U.S. National Conference on Earthquake Engineering*, pp. 25-29 (2018).
14. Song, B., Galasso, C. and Kanvinde, A., "Advancing fracture fragility assessment of preNorthridge welded column splices", *Earthquake Engineering & Structural Dynamics*, **492**, pp. 132-154 (2019).
15. "Instruction for seismic rehabilitation of existing buildings (No. 360)", In, *Management and Planning Organization Office of Deputy for Technical Affairs, tehran*, (in Persian)(2005).
16. PEER, NGA. "Strong motion database", See <http://ngawest2.berkeley.edu>, (2013).
17. Iran Strong Motion Network, See <https://ismn.bhrc.ac.ir>, (2020).
18. Dehghani, E. and Aryani, Z. *The Effect of Minor Variations in Strength & Stiffness on Seismic Responses of Steel 2D Moment Frame with Nonlinear Time History Analysis*, University of Qom, Qom, pp.60-104 (in Persian) (2020).